

آزمون نیکویی برازش برای توزیع نمایی وزنی

محمد مهدی مقامی^۱، نصراله ایران‌پناه

گروه آمار، دانشگاه اصفهان

تاریخ دریافت: ۱۳۹۰/۵/۳۱ تاریخ پذیرش: ۱۳۹۱/۴/۱۲

چکیده: در رده جدیدی از توزیع‌های نمایی وزنی که توسط گوپتا و کاندو [۱] ارائه شد، پارامتر چولگی به توزیع نمایی اضافه گردیده است. بنابراین توزیع نمایی وزنی دارای پارامترهای چولگی و مقیاس است. در این مقاله آزمون نیکویی برازش برای این رده با پارامترهای مجهول را بررسی می‌کنیم. آزمون بر مبنای آماره‌های معروف اندرسون و کلموگروف-اسمیرنوف انجام می‌گیرد. برای یافتن چندک‌های آماره اندرسون از روش بوت استرپ اما در مورد آماره کلموگروف-اسمیرنوف از روش دیگری استفاده می‌کنیم. برای برآورد پارامترها از روش ماکسیمم درست‌نمایی استفاده می‌شود. با استفاده از شبیه‌سازی مونت کارلو به بررسی اندازه و توان آزمون‌ها برای فرض‌های مقابل گوناگون و اندازه‌های نمونه متفاوت پرداخته‌ایم. نتایج نشان می‌دهد که آزمون کلموگروف-اسمیرنوف دارای توان بالاتری نسبت به آزمون اندرسون است.

واژه‌های کلیدی: آزمون نیکویی برازش، بوت استرپ پارامتری، تابع توزیع تجربی، شبیه‌سازی مونت-کارلو.

رده‌بندی ریاضی: ۶۲۴۴۰، ۶۲۶۱۰

۱- مقدمه

روش‌های متنوعی برای اضافه کردن پارامتر شکل به مدل نمایی وجود دارد که منجر به توزیع‌های نمایی وزنی می‌شود. برای مثال توزیع‌های گاما و نمایی تعمیم‌یافته دو تعمیم متفاوت از توزیع نمایی هستند. گوپتا و کاندو [۱] به معرفی رده توزیع‌های نمایی وزنی براساس ایده آل‌یینی [۲] پرداختند. این رده با اضافه نمودن یک پارامتر چولگی به توزیع نمایی به‌دست می‌-

آید. در حالت خاص اگر این پارامتر چولگی برابر یک باشد، این توزیع به توزیع نمایی تعمیم یافته‌ی گوپتا و کاندو [۳] تبدیل می‌شود.

آزالبینی [۲] اولین بار توزیع چوله نرمال را با اضافه کردن پارامتر چولگی به توزیع نرمال مطرح کرد. بعد از آن تحقیقات وسیعی برای افزودن پارامتر چولگی به توزیع‌های متقارن انجام شد. برای مثال چوله تی، چوله کوشی، چوله لاپلاس و چوله لوژستیک تعریف شدند و خواص مختلف و شیوه استنباط برای آن‌ها بحث شد (برای مثال مراجع [۴، ۵ و ۶] را ببینید).

گوپتا و کاندو [۱] به بررسی برخی از خواص مهم توزیع نمایی وزنی مانند توابع توزیع و چگالی، تابع مولد گشتاور، تولید اعداد تصادفی، ارتباط این رده با توزیع‌های نمایی، گاما و نمایی تعمیم‌یافته و هم‌چنین برآورد پارامترهای آن به روش‌های گشتاوری و ماکسیمم درست‌نمایی پرداختند. سرانجام با مثال‌هایی از داده‌های واقعی نشان دادند که رده مطرح شده نسبت به توزیع‌های وایبل، گاما و نمایی تعمیم یافته دارای برتری است.

یک مسأله مهم برای برازش داده‌ها توسط یک توزیع، آزمون نیکویی برازش است. برای این منظور، آزمون‌های بر مبنای توزیع تجربی اختلاف بین تابع توزیع تحت فرض صفر و تابع توزیع تجربی را اندازه می‌گیرند. این آزمون‌ها به دو خانواده کلی کرامر و کلموگروف تقسیم می‌شوند. خانواده کرامر شامل آماره‌های کرامر-ون میزز، واتسون، اندرسون-دارلینگ و خانواده کلموگروف شامل آماره‌های D^+ ، D^- ، گلموگروف-اسمیرنف و کیورپ است. در این مقاله از آماره‌های اندرسون و کلموگروف-اسمیرنف استفاده می‌شود.

در بخش دوم به معرفی رده نمایی وزنی و برخی از خواص مهم آن پرداخته و به بررسی برآورد پارامترهای آن با استفاده از روش‌های گشتاوری و ماکسیمم درست‌نمایی می‌پردازیم. در بخش سوم، الگوریتم آزمون نیکویی برازش بر مبنای تابع توزیع تجربی را مطرح می‌کنیم. سپس آزمون اندرسون با پارامتر مقیاس معلوم انجام می‌شود. چون پارامتر شکل توزیع مجهول است، برای یافتن چندک آماره آزمون اندرسون از روش بوت استرپ استفاده می‌گردد. در ادامه به بررسی اندازه واقعی آزمون و توان آن می‌پردازیم. برای بررسی توان از برخی فرض‌های مقابل مناسب مانند لاگ نرمال، گاما، کای-دو، وایبل، نیم نرمال، نیم کوشی و یکنواخت استفاده می‌شود. در بخش چهارم آزمون اندرسون با پارامتر مقیاس مجهول بررسی می‌شود. بخش پنجم آزمون نیکویی برازش را بر مبنای آماره کلموگروف-اسمیرنف و پارامتر مقیاس دلخواه بررسی می‌کند. ولی برای یافتن چندک‌ها به جای استفاده از روش بوت‌استرپ از روش دیگری استفاده می‌کنیم که دارای سه مزیت نسبت به روش بخش چهارم است. این روش اولاً توان بالاتری دارد، ثانیاً این روش نیازی به شبیه‌سازی تکراری و وقت‌گیر بوت‌استرپ نیست و سرانجام نیاز به در نظر گرفتن پارامتر مقیاس نداریم. نقاط بحرانی آزمون با استفاده از شبیه سازی مونت‌کارلو به دست

می‌آیند. بررسی اندازه واقعی آزمون کلموگروف-اسمیرنوف و مقایسه توان آن با آزمون اندرسون نشان‌دهنده برتری این آزمون در اکثر فرض‌های مقابل است.

۲- رده جدیدی از توزیع های نمایی وزنی

گوییم متغیر تصادفی X دارای توزیع نمایی وزنی با پارامترهای شکل $\alpha > 0$ و مقیاس $\lambda > 0$ است، اگر دارای چگالی زیر باشد:

$$f_X(x; \alpha, \lambda) = \frac{\alpha + 1}{\alpha} \lambda e^{-\lambda x} (1 - e^{-\alpha \lambda x}); \quad x > 0 \quad (1)$$

و آن را با نماد $WE(\alpha, \lambda)$ نشان می‌دهیم [۱]. برای تولید عدد تصادفی از $WE(\alpha, \lambda)$ از لم زیر استفاده می‌شود.

لم ۱. فرض کنید $U \sim \exp(\lambda)$ و $V \sim \exp(\lambda(1 + \alpha))$ و از هم مستقل باشند. در این صورت $X = U + V \sim WE(\alpha, \lambda)$.

اثبات. گویتا و کاندو [۱] را ببینید.

تابع توزیع $WE(\alpha, \lambda)$ و تابع مولد گشتاور برای مقادیر $|t| < \lambda^{-1}$ به صورت

$$F_X(x; \alpha, \lambda) = \frac{\alpha + 1}{\alpha} \left[1 - e^{-\lambda x} - \frac{\lambda}{\lambda + \alpha \lambda} (1 - e^{-\lambda(1 + \alpha)x}) \right]; \quad x > 0 \quad (2)$$

و

$$M_X(t) = \left(1 - \frac{t}{\lambda} \right)^{-1} \left[1 - \frac{t}{\lambda(1 + \alpha)} \right]^{-1}; \quad |t| < \frac{1}{\lambda} \quad (3)$$

به دست می‌آیند. برای $\lambda = 1$ توزیع را با $WE(\alpha)$ نشان می‌دهیم. اگر \bar{x} و s^2 به ترتیب میانگین و واریانس نمونه مشاهده شده باشند، برآوردهای گشتاوری پارامترهای شکل و مقیاس به صورت زیر به دست می‌آیند:

$$\tilde{\alpha} = \frac{-(\bar{x}^r - 2s^r) + \sqrt{(\bar{x}^r - 2s^r)^2 - 2(\bar{x}^r - s^r)(\bar{x}^r - 2s^r)}}{\bar{x}^r - s^r} \quad (۴)$$

$$\tilde{\lambda} = \frac{1}{\bar{X}} \left(1 + \frac{1}{1 + \tilde{\alpha}} \right).$$

اگر در رابطه‌ی (۴) عبارت زیر رادیکال منفی باشد، آن‌گاه برآورد گشتاوری پارامتر شکل موجود نیست و در نتیجه برآورد گشتاوری پارامتر مقیاس نیز موجود نخواهد بود. گوپتا و کاندو [۱] برای محاسبه برآوردهای ماکسیمم درست‌نمایی این توزیع از روش زیر استفاده می‌کنند:

با استفاده از تغییر پارامتر $\beta = \alpha\lambda$ تابع درست‌نمایی براساس نمونه مشاهده $\{x_1, \dots, x_n\}$ به صورت

$$l(x_1, \dots, x_n) = n \ln(\beta + \lambda) - n \ln \beta + n \ln \lambda - \lambda \sum_{i=1}^n x_i + \sum_{i=1}^n \ln(1 - e^{-\beta x_i}) \quad (۵)$$

به دست می‌آید. برای β ثابت با مشتق‌گیری از معادله (۵) نسبت به λ ، معادله (۵) با مقدار λ

$$\hat{\lambda}(\beta) = \frac{1}{2\bar{x}} \left(\sqrt{(\beta\bar{x} - 2)^2 + 4\beta\bar{x}} - (\beta\bar{x} - 2) \right)$$

ماکسیمم می‌گردد. با جایگزینی $\hat{\lambda}(\beta)$ در معادله (۵) این معادله فقط شامل مقدار نامعلوم β خواهد بود. با ماکسیمم نمودن این رابطه با استفاده از روش‌های عددی $\hat{\beta}$ به دست می‌آید. بنابراین برآورد ماکسیمم درست‌نمایی β را می‌توان از حل یک معادله غیرخطی به دست آورد. با جایگزینی $\hat{\lambda}(\beta)$ در لگاریتم درست‌نمایی و سپس مشتق‌گیری بر حسب β ، معادله غیر-خطی $h(\beta) = \beta$ به دست می‌آید که به صورت زیر است:

$$h(\beta) = \left[\frac{1}{\beta + \lambda(\hat{\beta})} + \frac{1}{n} \sum_{i=1}^n \frac{x_i e^{-\beta x_i}}{1 - e^{-\beta x_i}} \right]^{-1}.$$

اما حل این معادله غیرخطی نیاز به نقطه اولیه‌ای مانند β_0 برای β دارد. انتخاب این نقطه اولیه تاثیر به‌سزایی در نتیجه برآورد دارد. نتایج شبیه‌سازی نشان داد که در مواردی با نقاط ابتدایی نامناسب حتی برآورد ماکسیمم درست‌نمایی پارامترها به دست نمی‌آید. از طرفی چون $\beta = \alpha\lambda$ ، پس می‌توان حاصل ضرب برآوردهای گشتاوری پارامترها را به‌عنوان نقطه ابتدایی β در نظر گرفت. اما دیدیم که این برآوردها در حالت کلی موجود نیستند. بنابراین پیشنهاد می‌کنیم که به جای حل معادله غیر خطی $h(\beta) = \beta$ ، با استفاده از یک تابع بهینه، مستقیماً از ماکسیمم نمودن تابع $l(\beta)$ بر حسب β استفاده شود. در این صورت نیاز به نقطه اولیه

نداشته و نگران نامناسب بودن آن نیستیم. در واقع به‌طور شهودی و با رسم نمودار $l(\beta)$ نیز می‌توان $\hat{\beta}$ را تشخیص داد. در این مقاله برای برآورد پارامترها از این روش استفاده می‌شود.

۳- آزمون نیکویی برازش برای توزیع نمایی وزنی بر مبنای آماره اندرسون

آزمون‌های نیکویی برازش این فرض را که آیا نمونه تصادفی X_1, X_2, \dots, X_n از جامعه‌ای با تابع توزیع $F(\cdot)$ آمده‌اند، می‌آزماید؛ یعنی

$$H_0: X_1, X_2, \dots, X_n \sim F_X(\cdot). \quad (6)$$

در این جا $F(\cdot)$ تابع توزیع $WE(\alpha, \lambda)$ است. ابتدا حالت $\lambda = 1$ را در نظر می‌گیریم. بنابراین $F(\cdot)$ تابع توزیع $WE(\alpha)$ در رابطه (۲) با $\lambda = 1$ است. در حالت کلی برای داده‌های واقعی X ابتدا برآورد پارامتر مقیاس $\hat{\lambda}$ را از روش ماکسیمم درست‌نمایی محاسبه و سپس آزمون را برای داده‌های $Y = \hat{\lambda}X$ به کار می‌بریم. برای آزمون در این بخش، از آماره آزمون اندرسون استفاده می‌کنیم. مقادیر بزرگ این آماره اختلاف معناداری را بین تابع توزیع تجربی و تابع توزیع مفروض نشان می‌دهد و بنابراین فرض صفر رد می‌گردد. مقدار دقیق این آماره از رابطه

$$A^2 = n \int_{-\infty}^{\infty} [F_n(x) - F(x)]^2 [F(x)(1 - F(x))]^{-1} dF(x)$$

به دست می‌آید. برای یافتن مقدار آماره، از تقریب استغنز $[Y]$ استفاده می‌شود که از رابطه

$$A^2 \approx -n - \frac{1}{n} \sum_{i=1}^n (\nu_i - 1) \left[\log p_{(i)} + \log(1 - p_{(n+1-i)}) \right] \quad (7)$$

به دست می‌آید و در آن $p_{(i)} = F(x_{(i)}, \alpha)$ چون پارامتر شکل α مجهول است، از برآورد ماکسیمم درست‌نمایی آن استفاده می‌کنیم. تابع درست‌نمایی به شکل

$$l(x_1, \dots, x_n) = n \ln(\alpha + 1) - n \ln \alpha + \sum_{i=1}^n \ln(1 - e^{-\alpha x_i}) \quad (8)$$

به دست می‌آید. با ماکسیمم نمودن (۸) بر حسب α برآورد ماکسیمم درست‌نمایی به دست می‌آید. برای یافتن چندک‌های آزمون از روش بوت‌استرپ استفاده می‌گردد. برای انجام آزمون برای یک نمونه تصادفی داده شده به اندازه n به‌طور خلاصه باید مراحل زیر را انجام داد:

- (۱) با داشتن نمونه x_1, \dots, x_n برآورد پارامتر شکل را محاسبه و با $\hat{\alpha}$ نشان می‌دهیم.
- (۲) مقدار آماره آزمون A_n^2 را با استفاده از $\hat{\alpha}$ و $\hat{p}_{(i)}$ و معادله (۷) به دست می‌آوریم.
- (الف) نمونه بوت استرپ به حجم n از $WE(\hat{\alpha})$ تولید می‌کنیم.
- (ب) با استفاده از نمونه بوت استرپ تولید شده در مرحله قبل، برآورد ماکسیمم درست‌نمایی α ، یعنی $\hat{\alpha}^*$ را محاسبه می‌کنیم.
- (پ) با استفاده از نمونه بوت استرپ و $\hat{\alpha}^*$ مقدار آماره آزمون یعنی A_n^{*2} را محاسبه می‌کنیم.
- (۳) مراحل الف-پ را B بار تکرار کرده و مقادیر A_{nj}^{*2} ، $j = 1, 2, \dots, B$ را به دست می‌آوریم.
- (۴) $\tilde{C}_n(0/95)$ را با $A_{n(B \times 0/95)}^{*2}$ که در آن $A_{n(j)}^{*2}$ نشان‌دهنده مقدار ترتیبی j -ام A_{nj}^{*2} است، به دست می‌آوریم. اگر مقدار A_n^2 محاسبه شده از $\tilde{C}_n(0/95)$ بزرگ‌تر شود، در این صورت فرض صفر را در سطح $0/05$ رد می‌کنیم.

جدول ۱: برآورد اندازه آزمون با استفاده از آماره A^2 که با شبیه سازی $B = 1000$ نمونه در سطح $0/05$ به دست آمده است.

		α						n	
		۰/۲۵	۰/۵	۱	۳	۵	۱۰	۲۰	۱۰۰
	۰/۰۴۲	۰/۰۴۵	۰/۰۲۳	۰/۰۴۴	۰/۰۴۸	۰/۰۵	۰/۰۳۹	۰/۰۱۹	۵۰
	۰/۰۳۹	۰/۰۵۴	۰/۰۵۳	۰/۰۳۷	۰/۰۵۳	۰/۰۳۲	۰/۰۴۳	۰/۰۴۸	۱۰۰

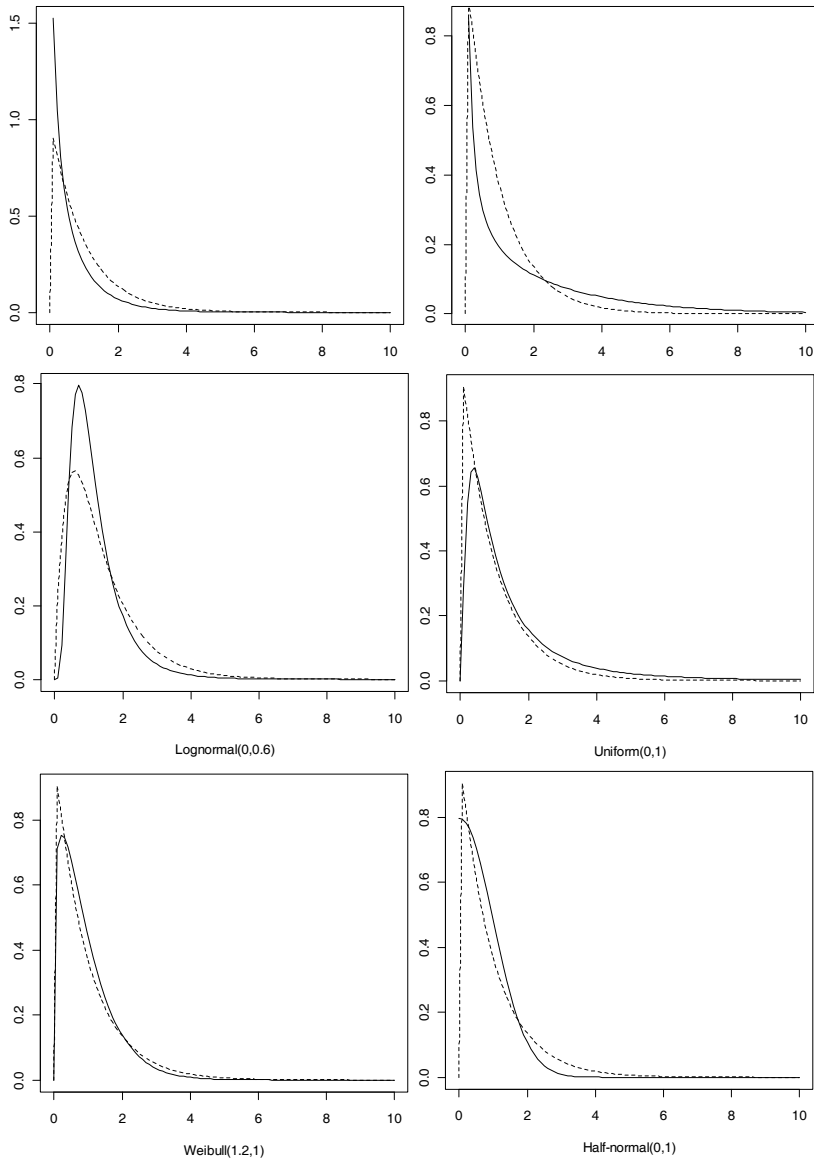
برای بررسی سطح واقعی آزمون از نمونه‌های شبیه‌سازی شده از $WE(\alpha)$ برای رده وسیعی از مقادیر پارامتر شکل، یعنی $\alpha \in \{0/25, 0/5, 1, 3, 5, 10, 20, 100\}$ استفاده می‌کنیم. برآورد اندازه به‌وسیله شبیه‌سازی برای سطح $0/05$ و $B = 1000$ نمونه مونت‌کارلو در جدول ۱ آمده است. باتوجه به این جدول می‌بینیم که برآورد اندازه آزمون به سطح معناداری اسمی $0/05$ بسیار نزدیک است.

برای بررسی توان از فرض‌های مقابل مناسب استفاده می‌کنیم. چون فرض صفر شامل پارامتر مقیاس نیست، پس توزیع فرض‌های مقابل را نیز بدون پارامتر مقیاس در نظر می‌گیریم. ملاحظه می‌شود که برای برخی فرض‌های مقابل، آزمون توان کمی دارد. به‌عبارت دیگر آزمون قابلیت تشخیص توزیع را ندارد. دلیل این مطلب این است که این توزیع‌ها شباهت زیادی با

توزیع نمایی وزنی دارند. برای مثال اگر توزیع $Gamma(2,1)$ را در نظر بگیریم و پارامتر شکل توزیع نمایی وزنی را از آن برآورد کنیم، به مقدار $\hat{\alpha} = 0.100022$ خواهیم رسید. اکنون با رسم چگالی توزیع‌های $Gamma(2,1)$ و $WE(\hat{\alpha},1)$ درمی‌یابیم که دو توزیع دقیقاً بر هم منطبق هستند. پس انتظار داریم که آزمون قادر به تشخیص دو توزیع نباشد. در حالت کلی هرچه اختلاف بین تابع چگالی توزیع مورد نظر و نمایی وزنی برآورد شده کمتر باشد توان کمتر و هرچه این اختلاف بیشتر باشد، انتظار داشتن توان بالاتری خواهیم داشت.

جدول ۲: برآورد توان آماره A^z برای برخی فرض‌های مقابل و سطح 0.05 و $B = 1000$ شبیه‌سازی مونت کارلو.

$n = 150$	$n = 100$	$n = 50$	فرض مقابل
0.988	0.956	0.943	$Gamma(0.16,1)$
0.068	0.063	0.050	$Gamma(1,1)$
0.166	0.153	0.052	$Gamma(2,1)$
0.969	0.956	0.948	$Gamma(5,1)$
0.984	0.953	0.927	$Chi\ squared(1)$
0.972	0.936	0.915	$Chi\ squared(2)$
0.978	0.970	942	$Chi\ squared(10)$
0.990	9836	0.977	$Weibull(0.15,1)$
0.182	0.123	0.115	$Weibull(1/2,1)$
0.959	0.982	0.958	$Weibull(2,1)$
0.996	0.950	0.963	$Lognormal(0.10,0.16)$
0.886	0.975	0.432	$Lognormal(0.1,1)$
0.973	0.946	0.925	$Lognormal(0.10,5)$
0.987	0.948	0.950	$Uniform(0.1,1)$
0.837	0.521	0.225	$Half - normal(0.1,1)$
0.991	0.970	0.971	$Half - Cauchy(0.1,1)$



شکل ۱: نمودار چگالی برخی از فرض‌های مقابل (نمودار پرننگ) و برآورد آن توسط توزیع $WE(\alpha)$ (نمودار نقطه چین).

در شکل ۱ نمودار برخی از چگالی‌های مقابل به همراه چگالی $WE(\hat{\alpha})$ برآورد شده رسم شده است. در این نمودارها چگالی اصلی را به صورت پررنگ و چگالی نمایی وزنی برآورد شده را با نقطه چین نشان داده‌ایم.

۴- آزمون برای توزیع شامل پارامتر مقیاس

در این بخش آزمون را در حضور پارامتر مقیاس بررسی می‌کنیم. بنابراین در فرض صفر (۶)، $F(\cdot)$ تابع توزیع $WE(\alpha, \lambda)$ است. روش یافتن چندک‌ها مشابه بخش سوم است با این تفاوت که چون پارامتر مقیاس نامعلوم است از برآورد ماکسیمم درست‌نمایی آن استفاده می‌گردد. بنابراین با داشتن نمونه $\{x_1, \dots, x_n\}$ ابتدا با استفاده از روش پیشنهاد شده در بخش دوم، برآورد ماکسیمم درست‌نمایی پارامتر مقیاس را محاسبه و با $\hat{\lambda}$ نشان می‌دهیم. اکنون با ضرب این برآورد در نمونه، مقادیر $\{y_1 = \hat{\lambda}x_1, \dots, y_n = \hat{\lambda}x_n\}$ به دست می‌آیند. برای n ‌های بزرگ، داده‌های $\{y_1, \dots, y_n\}$ به‌طور مجانبی و تقریبی دارای پارامتر مقیاس $\lambda = 1$ است، پس برای انجام آزمون برای این داده‌ها می‌توان از الگوریتم بخش سوم استفاده نمود. جداول ۳ و ۴ برآورد اندازه و توان این آزمون را نشان می‌دهند. همان‌طور که انتظار داریم توان آزمون برای برخی از فرض‌های مقابل کمتر از بخش سوم است. در عوض آزمون محافظه‌کاری بیشتری دارد. یعنی سطح معناداری آن از سطح اسمی ۰/۰۵ کمتر است.

جدول ۳: برآورد اندازه آزمون با استفاده از آماره A^z که با شبیه‌سازی $B = 1000$ نمونه برای سطح ۰/۰۵ به دست آمده‌اند.

(α, λ)								n
(۰/۲ و ۲)	(۰/۵ و ۴)	(۱ و ۵)	(۳ و ۲)	(۵ و ۳)	(۱۰ و ۶)	(۲۰ و ۹)	(۱۰۰ و ۳)	
۰/۰۱۶	۰/۰۰۶	۰/۰۱۲	۰/۰۰۲	۰/۰۰۱	۰/۰۰۸	۰/۰۰۶	۰/۰۱۵	۵۰
۰/۰۲۲	۰/۰۱۱	۰/۰۱۴	۰/۰۱۲	۰/۰۰۵	۰/۰۰۳	۰/۰۱	۰/۰۱۲	۱۰۰

با ملاحظه جدول ۴ متوجه می‌شویم که توان این آزمون برای برخی فرض‌های مقابل مانند $Chi\ squared(2)$ حتی به اندازه سطح معناداری آزمون یعنی ۰/۰۵ نیز نیست.

جدول ۴: برآورد توان آماره A^T برای برخی فرض‌های مقابل و سطح 0.05 و $B = 1000$ نمونه مونت کارلو.

$n = 150$	$n = 100$	$n = 50$	فرض مقابل
۰/۹۷۴	۰/۸۳۲	۰/۵۵۳	$Gamma(0.16, 1)$
۰/۹۳۴	۰/۸۷۲	۰/۵۸۳	$Gamma(0.16, 2)$
۰/۶۲۷	۰/۴۱۳	۰/۰۸	$Gamma(3, 2)$
۰/۹۳۲	۰/۸۹۳	۰/۸۴۱	$Gamma(5, 1)$
۰/۰۰۵	۰/۰۰۴	۰/۰۰۲	$Chi squared (2)$
۰/۹۶۳	۰/۸۹۸	۰/۸۹۲	$Chi squared (10)$
۰/۹۹۹	۰/۹۸۵	۰/۹۹۳	$Weibull (3, 2)$
۰/۹۳۴	۰/۷۵۱	۰/۳۶۵	$Weibull (2, 1)$
۰/۶۵۲	۰/۵۸۵	۰/۱۵۲	$Lognormal (0.1, 0.16)$
۰/۳۸۲	۰/۲۸۴	۰/۱۴۴	$Lognormal (0.1, 1)$
۰/۹۸۲	۰/۹۶۵	۰/۸۵	$Lognormal (0.1, 5)$
۰/۹۳۸	۰/۸۷۲	۰/۴۳۲	$Uniform (0.1, 1)$
۰/۱۲۳	۰/۱۱۸	۰/۰۱۵	$Half - normal (0.1, 1)$
۰/۹۶۳	۰/۸۹۶	۰/۸۶۲	$Half - Cauchy (0.1, 1)$

۵- آزمون نیکویی برازش بر مبنای آماره کلموگروف-اسمیرنوف

در این بخش آزمون (Y) که در آن $F(\cdot)$ تابع توزیع $WE(\alpha, \lambda)$ است، بررسی می‌شود. برای این منظور از آماره کلموگروف-اسمیرنوف استفاده می‌کنیم. مقدار دقیق آماره عبارتست از $D = \max(D^+, D^-)$ که در آن

$$D^- = \sup_x (F(x) - F_n(x)), \quad D^+ = \sup_x (F_n(x) - F(x)).$$

تقریب استفنز $[7]$ برای آماره به صورت $D \approx \max(D^+, D^-)$ است. چنانچه $D^- \approx \max_i \left(p_{(i)} - \frac{i-1}{n} \right)$ و $D^+ \approx \max_i \left(\frac{i}{n} - p_{(i)} \right)$ آن‌گاه فرض صفر در سطح معناداری $1-\gamma$ وقتی رد می‌شود که $D \geq C_n(\gamma)$ چندک γ -ام تابع

توزیع تجربی D است. درحقیقت چون برای مقادیر بزرگ آماره، فرض صفر را رد می‌کنیم و می‌خواهیم به سطح معناداری $1-\gamma$ برسیم، پس باید چندک $1-\gamma$ ام را در نظر بگیریم. برای به‌دست آوردن نقاط بحرانی $C_n(\gamma)$ برای (α, λ) ثابت از الگوریتم زیر استفاده می‌گردد.

۱. (α, λ) و n را ثابت در نظر می‌گیریم.

۲. نمونه‌ای تصادفی به حجم n از $WE(\alpha, \lambda)$ شبیه‌سازی می‌کنیم.

۳. برآورد ماکسیمم درست‌نمایی پارامترهای (α, λ) را به‌دست می‌آوریم.

۴. D_n ، با استفاده از تقریب استفنز [۷] محاسبه می‌شود.

۵. مراحل ۱-۴ را B بار تکرار می‌کنیم.

با اتمام فرآیند شبیه‌سازی، برای (α, λ) داده شده B مقدار D_n داریم. بنابراین مقدار ثابت بحرانی $C_n(\gamma)$ با یافتن چندک $1-\gamma$ ام از تابع توزیع تجربی D_n محاسبه می‌شود.

شبیه‌سازی نشان می‌دهد که چندک $C_n(\gamma)$ به پارامتر مقیاس λ وابسته نیست. جدول ۵ نمونه‌ای از این شبیه‌سازی را برای مقادیر مختلف (α, λ) با $n=50$ و $B=10000$ نمونه مونت‌کارلو نشان می‌دهد. توجه کنید که این مساله در مورد آماره اندرسون درست نیست. پس برای راحتی کار در الگوریتم بالا می‌توان از $\lambda=1$ استفاده نمود. از طرفی چون می‌خواهیم حداکثر اندازه آزمون برابر $1-\gamma$ شود، بایستی $C_n(\gamma)$ طوری مشخص شود که داشته باشیم:

$$1-\gamma = \max_{(\alpha, \lambda=1)} P(\text{Reject } H_0 | H_0) \quad (9)$$

$$= \max_{(\alpha, \lambda=1)} P(D \geq C_n(\gamma)).$$

شکل ۲ نمودارهای $C_n(\gamma)$ را به‌عنوان تابعی از α برای $\alpha = \{0.195, 0.1975, 0.199\}$ و $n=50$ نشان می‌دهد. این نمودارها نشان می‌دهند که توزیع آماره آزمون D_n تحت H_0 وابسته به مقدار پارامتر نامعلوم α است. از شکل‌های ۲ و ۹ مقادیر ثابت بحرانی $C_n(\gamma)$ با یافتن چندک‌های $1-\gamma$ ام از تابع توزیع تجربی D_n به‌وسیله شبیه‌سازی برای $\alpha=30$ به‌دست می‌آیند؛ زیرا با توجه به شکل ۲ چندک‌های $C_n(\gamma)$ برای $\alpha=30$ دارای حداکثر اندازه‌های برابر $1-\gamma$ خواهند بود.

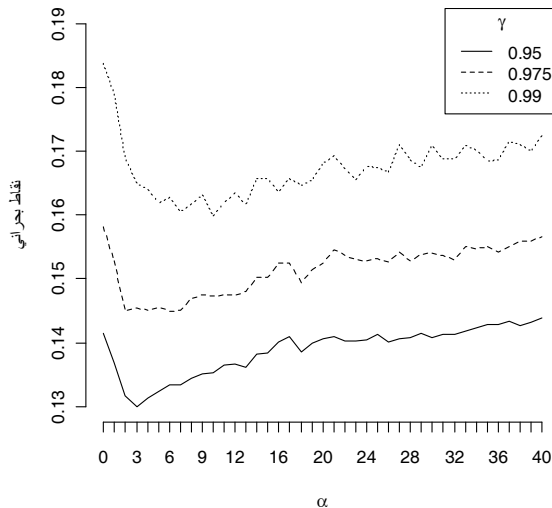
جدول ۵: برآورد چندک‌های آماره کلموگروف-اسمیرنوف برای مقادیر مختلف (α, λ) با $n = 50$ و $B = 10000$ نمونه مونت کارلو.

γ							(α, λ)
۰/۹۹	۰/۹۷۵	۰/۹۵	۰/۹	۰/۸۵	۰/۷۵	۰/۵	
۰/۱۶۷۰۸۹۰۲	۰/۱۴۷۸۶۵۶۹	۰/۱۳۳۴۲۰۹۸	۰/۱۱۹۱۲۹۸۳	۰/۱۱۱۳۸۰۹۵	۰/۱۰۱۷۰۵۹۲	۰/۰۸۵۶۷۳۶۲	(۱, ۱)
۰/۱۶۸۱۷۴۰۱	۰/۱۵۱۷۵۵۶۲	۰/۱۳۱۴۰۵۳۶	۰/۱۱۹۵۵۳۲۴	۰/۱۱۱۵۷۱۷۳	۰/۱۰۱۷۴۱۰۵	۰/۰۸۴۶۸۳۰۷	(۱, ۳)
۰/۱۸۲۱۴۳۶۳	۰/۱۵۱۳۹۲۳۶	۰/۱۳۴۹۶۴۶۶	۰/۱۱۸۹۷۳۹۹	۰/۱۱۱۶۱۷۹۸	۰/۱۰۱۸۹۷۶۳	۰/۰۸۶۳۹۵۴۸	(۱, ۵)
۰/۱۶۹۰۵۹۵۱	۰/۱۴۸۶۰۸۹	۰/۱۳۲۴۸۵۰۵	۰/۱۱۹۹۱۲۸۳	۰/۱۱۰۹۸۹۱۴	۰/۱۰۱۰۴۷۹۲	۰/۰۸۵۲۸۳۸۱	(۱, ۷)
۰/۱۶۴۴۳۲۷	۰/۱۴۸۷۶۴۰۷	۰/۱۳۳۹۷۲۶	۰/۱۱۹۳۷۰۷۳	۰/۱۱۲۹۲۱۱۳	۰/۱۰۲۷۴۱۱۱	۰/۰۸۵۱۳۱۹۷	(۱, ۱۰)
۰/۱۸۶۷۲۴۳۵	۰/۱۵۲۸۶۴۷۷	۰/۱۳۶۱۵۸۳۹	۰/۱۲۲۳۷۴۳۵	۰/۱۱۴۵۰۶۴۹	۰/۱۰۴۵۸۳۵۵	۰/۰۸۶۷۲۸۰۳	(۱, ۱۵)
۰/۱۸۳۱۷۵۱	۰/۱۶۲۱۷۲۴۷	۰/۱۳۸۰۵۲۶۶	۰/۱۲۳۵۳۶۶۱	۰/۱۱۴۱۵۴۱۷	۰/۱۰۲۶۰۲۰۳	۰/۰۸۷۰۵۴۲۵	(۱, ۲۰)
۰/۱۷۴۷۲۳۵۶	۰/۱۴۹۳۴۳۱۳	۰/۱۳۱۳۰۹۳۶	۰/۱۲۰۶۴۵۰۲	۰/۱۱۳۴۹۲۷۲	۰/۱۰۲۲۷۴۴	۰/۰۸۵۵۵۰۷۴	(۱, ۳۰)
۰/۱۶۲۷۹۷۱۷	۰/۱۴۴۴۰۶۲۲	۰/۱۳۱۸۰۴۶۱	۰/۱۲۰۰۸۲۴۳	۰/۱۱۰۱۵۹۹۵	۰/۱۰۰۴۴۳۷۳	۰/۰۸۴۱۲۸۷۲	(۳, ۱)
۰/۱۶۱۲۸۶۵۸	۰/۱۴۴۱۹۰۴۴	۰/۱۳۳۲۷۵۵۴	۰/۱۱۸۱۸۰۷۱	۰/۱۰۹۵۷۳۶۶	۰/۰۹۸۲۶۵۳۶	۰/۰۸۲۸۳۵۰۴	(۳, ۳)
۰/۱۷۳۴۴۷۷۹	۰/۱۴۳۶۳۳۹۹	۰/۱۳۳۳۴۹۸۵	۰/۱۱۹۱۹۰۶	۰/۱۱۱۱۳۰۱۲	۰/۰۹۹۲۶۳۲۸	۰/۰۸۳۳۷۷۴۶	(۳, ۵)
۰/۱۵۵۰۴۳۹۹	۰/۱۳۸۴۳۱۱۸	۰/۱۲۷۷۸۳۵۵	۰/۱۱۷۷۳۹۴۹	۰/۱۰۹۷۹۹۷۴	۰/۰۹۸۰۲۱۶۸	۰/۰۸۲۹۵۲۰۶	(۳, ۷)
۰/۱۶۵۰۶۷۰۳	۰/۱۴۱۹۵۳۶۶	۰/۱۲۹۱۴۵۰۵	۰/۱۱۶۴۳۴۴۴	۰/۱۰۸۷۸۸۹۵	۰/۰۹۹۴۴۱۵۲	۰/۰۸۴۰۵۳۶	(۳, ۱۰)
۰/۱۶۵۴۱۲۸۶	۰/۱۴۶۷۲۳۱۲	۰/۱۳۴۴۴۵۷۷	۰/۱۱۸۴۸۲۱۶	۰/۱۰۸۹۷۲۰۱	۰/۰۹۸۹۶۸۸۷	۰/۰۸۳۰۰۳۳۴	(۳, ۱۵)
۰/۱۵۰۶۲۴۴	۰/۱۳۹۳۰۹۳۲	۰/۱۲۸۷۲۷۴۲	۰/۱۱۴۲۳۴۶۹	۰/۱۰۷۳۳۴۶	۰/۰۹۶۶۲۴۶۳	۰/۰۸۳۳۴۳۱۸	(۳, ۲۰)
۰/۱۶۱۸۶۹۶۶	۰/۱۴۶۹۸۶۲۳	۰/۱۳۱۶۴۷۴۴	۰/۱۱۹۳۲۱۵۴	۰/۱۱۲۷۸۸۴	۰/۱۰۱۱۶۱۵۳	۰/۰۸۴۲۰۱۳۹	(۳, ۳۰)
۰/۱۵۷۷۷۹۰۲	۰/۱۴۳۱۱۵۲۸	۰/۱۳۱۴۵۳۷۴	۰/۱۱۸۵۶۲۰۸	۰/۱۱۱۴۳۷۸۲	۰/۱۰۰۴۸۴۱۵	۰/۰۸۴۹۳۵۸۹	(۵, ۱)
۰/۱۶۴۳۵۳۵۲	۰/۱۴۶۳۲۰۲۹	۰/۱۲۹۵۷۳۳۸	۰/۱۱۸۶۰۹۷۴	۰/۱۱۰۲۶۵۰۳	۰/۱۰۰۳۸۹	۰/۰۸۴۴۹۴۰۴	(۵, ۳)
۰/۱۶۱۱۷۴۸۲	۰/۱۴۶۳۷۳۴	۰/۱۳۴۱۳۶۰۹	۰/۱۱۸۴۷۸۴	۰/۱۰۸۷۹۲۷۵	۰/۱۰۰۲۷۸۲۹	۰/۰۸۴۴۶۰۴۵	(۵, ۵)
۰/۱۶۰۴۸۴۶۴	۰/۱۵۰۶۱۴۳۱	۰/۱۳۵۶۹۲۹۶	۰/۱۱۹۰۴۲۵۴	۰/۱۱۱۴۸۵۷۵	۰/۱۰۱۲۵۴۱۲	۰/۰۸۵۶۹۱۹۳	(۵, ۷)
۰/۱۵۹۹۱۷۰۴	۰/۱۴۰۲۴۲۲	۰/۱۲۶۴۹۴۵۵	۰/۱۱۶۷۹۳۱۳	۰/۱۰۹۶۳۰۸۲	۰/۱۰۰۸۶۱۵۲	۰/۰۸۵۸۹۳۴۵	(۵, ۱۰)
۰/۱۶۴۸۷۵۳۶	۰/۱۴۱۷۲۵۳	۰/۱۲۷۹۴۹۹۵	۰/۱۱۷۷۱۰۱۲	۰/۱۱۰۴۱۸۳۱	۰/۰۹۹۷۷۷۱۹	۰/۰۸۴۰۴۹۸۱	(۵, ۱۵)
۰/۱۶۲۸۲۸۵۳	۰/۱۴۷۹۰۳۵۵	۰/۱۳۵۲۷۸	۰/۱۲۲۰۹۰۶	۰/۱۱۳۴۵۲۵	۰/۱۰۱۳۷۳۷۳	۰/۰۸۵۳۷۲۷۴	(۵, ۲۰)
۰/۱۵۹۹۲۷۵	۰/۱۳۹۳۳۰۶	۰/۱۲۹۱۵۳۶۹	۰/۱۱۷۷۹۷۸۸	۰/۱۰۹۷۵۱۶۶	۰/۰۹۹۶۸۱۱۸	۰/۰۸۳۴۸۹۵۹	(۵, ۳۰)

جدول ۵ (ادامه): برآورد چندک‌های آماره کلموگروف-اسمیرنوف برای مقادیر مختلف (α, λ) با $n = 50$ و $B = 10000$ نمونه مونت کارلو.

γ	(α, λ)
۰/۱۶۵۴۰۹۶۲ ۰/۱۵۰۳۵۸۱ ۰/۱۳۹۲۷۳۳۳ ۰/۱۲۵۸۴۶۲۴ ۰/۱۱۷۸۰۵۴۱ ۰/۱۰۵۹۴۶۵۴ ۰/۰۸۸۰۶۷۴۸	(۱۵, ۱)
۰/۱۶۶۰۷۳۴۶ ۰/۱۵۱۹۳۹۷۲ ۰/۱۳۸۶۱۷۸۶ ۰/۱۲۵۱۲۷۹۱ ۰/۱۱۶۶۸۹۲۷ ۰/۱۰۵۸۷۲۰۲ ۰/۰۸۸۴۰۱۳۹	(۱۵, ۳)
۰/۱۶۴۷۰۲۰۳ ۰/۱۵۰۰۰۰۷ ۰/۱۳۷۹۹۶۹۶ ۰/۱۲۵۰۶۸۸۵ ۰/۱۱۶۹۵۶۷۶ ۰/۱۰۵۸۰۸۰۶ ۰/۰۸۷۸۱۷۲۷	(۱۵, ۵)
۰/۱۶۵۶۸۰۴ ۰/۱۵۰۹۴۶۹ ۰/۱۳۸۹۳۹۶ ۰/۱۲۵۵۹۷۶ ۰/۱۱۷۳۶۲۷ ۰/۱۰۵۹۵۶۴ ۰/۰۸۸۲۴۵۳	(۱۵, ۷)
۰/۱۶۴۳۲۰۸۸ ۰/۱۴۹۷۶۹۵۱ ۰/۱۳۹۱۰۵۴۵ ۰/۱۲۶۰۹۳۷۱ ۰/۱۱۸۱۰۴۸۲ ۰/۱۰۶۳۴۳۳۶ ۰/۰۸۸۴۶۱۳۵	(۱۵, ۱۰)
۰/۱۶۶۷۰۰۱ ۰/۱۵۰۰۰۳۸۲ ۰/۱۳۹۰۰۰۸۸ ۰/۱۲۵۶۸۶۹۲ ۰/۱۱۷۱۸۸۸۴ ۰/۱۰۶۲۷۱۱۱ ۰/۰۸۸۵۸۲۷۴	(۱۵, ۱۵)
۰/۱۶۵۲۱۱ ۰/۱۵۰۵۰۰۲۴ ۰/۱۳۷۵۹۳۳۲ ۰/۱۲۴۹۷۷۸۸ ۰/۱۱۶۳۷۰۳ ۰/۱۰۵۷۱۹۶۶ ۰/۰۸۷۷۱۸۱۲	(۱۵, ۲۰)
۰/۱۶۵۴۳۷۶ ۰/۱۵۰۵۴۱۳۳ ۰/۱۳۸۳۳۰۶۹ ۰/۱۲۵۶۰۸۰۴ ۰/۱۱۷۴۱۵ ۰/۱۰۵۶۷۱۴۵ ۰/۰۸۸۲۶۳۱۵	(۱۵, ۳۰)
۰/۱۶۲۹۸۵۶ ۰/۱۴۸۷۶۹۴۹ ۰/۱۳۸۹۹۶۵ ۰/۱۲۶۱۴۵۸۲ ۰/۱۱۷۸۹۲۰۹ ۰/۱۰۷۰۴۴۵۶ ۰/۰۸۸۸۳۲۴۶	(۲۰, ۱)
۰/۱۶۳۸۸۳۸۷ ۰/۱۴۸۸۱۹۶۱ ۰/۱۳۸۲۰۳۸ ۰/۱۲۵۴۸۰۵۸ ۰/۱۱۸۲۳۴۱۱ ۰/۱۰۷۱۷۱۸۳ ۰/۰۸۹۰۰۸۶۵	(۲۰, ۳)
۰/۱۶۴۵۲۷۱۹ ۰/۱۵۲۰۸۶۸ ۰/۱۳۹۸۸۹۰۱ ۰/۱۲۶۹۷۴۸۷ ۰/۱۱۹۰۵۷۱۶ ۰/۱۰۷۶۶۷۵۶ ۰/۰۸۹۱۹۵۰۶	(۲۰, ۵)
۰/۱۶۷۸۷۵۴۸ ۰/۱۵۱۸۵۶۸۷ ۰/۱۳۹۱۳۶۷۶ ۰/۱۲۶۳۵۱۰۶ ۰/۱۱۸۳۶۲۵۶ ۰/۱۰۶۹۰۰۸۱ ۰/۰۸۸۶۲۹۴۷	(۲۰, ۷)
۰/۱۶۳۷۸۰۵۲ ۰/۱۵۱۵۰۴۸۷ ۰/۱۳۸۸۰۵۹۷ ۰/۱۲۶۶۸۷۵ ۰/۱۱۸۱۶۷۴ ۰/۱۰۶۹۶۳۶۱ ۰/۰۸۹۳۲۵۱۵	(۲۰, ۱۰)
۰/۱۶۴۶۲۶ ۰/۱۵۲۶۰۲۷ ۰/۱۳۹۵۳۲۸۴ ۰/۱۲۶۳۷۸۲۴ ۰/۱۱۸۳۲۸۷۱ ۰/۱۰۷۲۵۳۶ ۰/۰۸۹۰۱۱۰۵	(۲۰, ۱۵)
۰/۱۶۶۸۳۷۹ ۰/۱۵۲۰۳۵۲۲ ۰/۱۴۰۴۲۰۵۳ ۰/۱۲۶۳۳۷۶ ۰/۱۱۸۶۵۳۷۲ ۰/۱۰۷۷۰۱۲۶ ۰/۰۸۹۶۷۰۱۶	(۲۰, ۲۰)
۰/۱۶۸۷۹۶۴۷ ۰/۱۵۱۱۹۵۳۱ ۰/۱۳۹۵۷۶۹۱ ۰/۱۲۷۱۹۲۸۴ ۰/۱۱۸۹۸۰۹۱ ۰/۱۰۷۵۰۲۷ ۰/۰۸۹۵۲۶۱۱	(۲۰, ۳۰)
۰/۱۶۹۵۸۴۷۷ ۰/۱۵۴۳۹۱۳ ۰/۱۴۲۶۴۴۷۷ ۰/۱۲۹۵۰۰۴۲ ۰/۱۲۰۷۲۳۶۸ ۰/۱۰۹۲۹۵۱۸ ۰/۰۹۰۷۳۷۲۳	(۳۰, ۱)
۰/۱۶۹۴۱۶۲۵ ۰/۱۵۴۸۲۴۸۳ ۰/۱۴۲۷۳۶۳۸ ۰/۱۲۹۲۷۰۳۴ ۰/۱۲۰۱۲۵۵۴ ۰/۱۰۸۹۳۸۱۴۱ ۰/۰۹۰۹۴۳۳۵	(۳۰, ۳)
۰/۱۷۰۱۱۱۸۶ ۰/۱۵۴۵۱۹۹۶ ۰/۱۴۲۳۴۶۰۴ ۰/۱۲۹۴۸۶۲۸ ۰/۱۲۰۴۹۶۶ ۰/۱۰۸۹۶۱۵۵ ۰/۰۹۰۳۳۱۰۲	(۳۰, ۵)
۰/۱۶۹۱۹۹۲۵ ۰/۱۵۴۶۴۵۱ ۰/۱۴۲۴۱۹۳۹ ۰/۱۲۹۰۱۹۵۶ ۰/۱۲۰۲۰۵۶۲ ۰/۱۰۸۶۷۶۵۵ ۰/۰۹۰۴۸۵۱۹	(۳۰, ۷)
۰/۱۶۷۵۱۰۵ ۰/۱۵۲۸۰۶۶ ۰/۱۴۱۱۳۷ ۰/۱۲۸۳۵۶۲ ۰/۱۱۹۹۸۸۹ ۰/۱۰۸۶۶۲۳ ۰/۰۹۰۱۶۰۲	(۳۰, ۱۰)
۰/۱۶۹۹۲۲۲۷ ۰/۱۵۵۱۸۱۰۱ ۰/۱۴۲۷۹۶۸۴ ۰/۱۲۹۶۰۸۷ ۰/۱۲۰۷۱۱۷۱ ۰/۱۰۸۵۲۲۶۸ ۰/۰۹۰۴۸۹۲۵	(۳۰, ۱۵)
۰/۱۷۰۶۷۲۱۵ ۰/۱۵۳۸۶۰۹۱ ۰/۱۴۱۱۳۲۲ ۰/۱۲۸۷۳۴۳۶ ۰/۱۲۰۶۸۰۶۷ ۰/۱۰۸۴۲۶۹۹ ۰/۰۹۰۲۷۰۵۳	(۳۰, ۲۰)
۰/۱۶۹۷۷۱۴۴ ۰/۱۵۴۸۰۶۱۸ ۰/۱۴۲۰۵۹۶۴ ۰/۱۲۸۰۸۱۰۱ ۰/۱۲۰۰۹۲۲۳ ۰/۱۰۸۷۲۶۹۱ ۰/۰۹۰۳۷۳۱۹	(۳۰, ۳۰)

جدول ۶، نقاط بحرانی آزمون D_n را که با شبیه‌سازی $B = 10000$ نمونه مونت کارلو و مراحل ۵-۱ برای $(\alpha = 30, \lambda = 1)$ به دست آمده‌اند، نشان می‌دهد.



شکل ۲: نقاط بحرانی به‌عنوان تابعی از α با $n = 50$ و $B = 10000$ نمونه برای آماره D_n .

جدول ۶: نقاط بحرانی برای آزمون D_n که با استفاده از شبیه‌سازی مونت کارلو با $B = 10000$ نمونه به حجم n به دست آمده‌اند.

n	γ						
	۰/۹۹	۰/۹۷۵	۰/۹۵	۰/۹	۰/۸۵	۰/۷۵	۰/۵
۱۰	۰/۳۵۸۱۷۷۲	۰/۳۲۵۶۳۴۱	۰/۲۹۹۶۱۵۲	۰/۲۷۲۱۲۲	۰/۲۵۴۴۲۷۴	۰/۲۲۹۹۵۱۵	۰/۱۹۱۱۵۶۳
۲۰	۰/۲۶۴۸۷۰۴	۰/۲۳۸۶۶۲	۰/۲۱۹۷۳۶۱	۰/۱۹۷۸۸۶	۰/۱۸۵۴۱۰۷	۰/۱۶۶۲۰۹۵	۰/۱۳۷۷۳۱۲
۳۰	۰/۲۱۷۳۳۵۵	۰/۱۹۵۰۵۲۳	۰/۱۸۰۹۵۵	۰/۱۶۴۸۴۱	۰/۱۵۲۹۶۶۷	۰/۱۳۸۰۸۶۲	۰/۱۱۴۸۶۵۳
۵۰	۰/۱۶۸۸۵۰۸	۰/۱۵۴۵۶۶۷	۰/۱۴۲۳۵۱۱۶	۰/۱۲۹۰۷۴	۰/۱۲۰۴۲۶۹۲	۰/۱۰۸۸۳۱۷	۰/۰۹۰۶۸۱۹۹
۱۰۰	۰/۱۱۹۱۱۶۷	۰/۱۰۹۷۰۹۵	۰/۱۰۴۸۸۷۳	۰/۰۹۲۷۲۸	۰/۰۸۶۶۲۵۶۵	۰/۰۷۸۱۰۸۹	۰/۰۶۵۲۷۵۵۹
۱۵۰	۰/۰۹۹۳۳۸	۰/۰۹۱۵۷۷۵	۰/۰۸۳۲۰۵۵۴	۰/۰۷۵۹۲۶	۰/۰۷۱۱۶۷۹۶	۰/۰۶۴۴۸۴۷	۰/۰۵۳۶۷۸۴۲
۲۰۰	۰/۰۸۷۹۰۴۷	۰/۰۷۹۶۳۵۰	۰/۰۷۳۵۳۱۲۳	۰/۰۶۶۶۴۹۷	۰/۰۶۲۳۴۷۷۸	۰/۰۵۶۵۵۸۲	۰/۰۴۶۹۵۵۴۶
۳۰۰	۰/۰۷۲۳۲۱۹	۰/۰۶۵۸۷۰۴	۰/۰۶۰۴۴۲۸۲	۰/۰۵۴۶۸۸	۰/۰۵۱۰۳۱۵۴	۰/۰۴۶۴۱۸۳	۰/۰۳۸۸۴۵۷۲
۵۰۰	۰/۰۵۵۶۷۰۲	۰/۰۵۰۸۰۲۶	۰/۰۴۶۷۰۸۰۱	۰/۰۴۲۴۵۶	۰/۰۳۹۸۰۳۹۷	۰/۰۳۶۰۰۷۴	۰/۰۳۰۰۶۱۴۹

در جداول ۷ و ۸ به ترتیب به بررسی سطح معناداری و توان آزمون کلموگروف-اسمیرنوف با $B = 1000$ نمونه مونت کارلو پرداخته ایم. جدول ۷ نشان می‌دهد که سطح معناداری آزمون نزدیک سطح اسمی آن است. مقایسه جدول ۸ با جدول ۴ نشان می‌دهد که این آزمون نسبت به آزمون برمبنای آماره اندرسون به مراتب تواناتر است.

جدول ۷: برآورد اندازه آزمون با استفاده از آماره D_n که با شبیه‌سازی $B = 1000$ نمونه برای $1 - \gamma = 0.05$ به دست آمده است.

(α, λ)								n
(۰/۲و۲)	(۰/۵و۴)	(۱و۵)	(۳و۲)	(۵و۳)	(۱۰و۶)	(۲۰و۹)	(۱۰۰و۳)	
۰/۰۵۷	۰/۰۴۱	۰/۰۵	۰/۰۲۷	۰/۰۳۲	۰/۰۳۸	۰/۰۵۴	۰/۰۵۷	۵۰
۰/۰۴۲	۰/۰۳۳	۰/۰۲۶	۰/۰۲۴	۰/۰۲۴	۰/۰۴۵	۰/۰۴۳	۰/۰۵۸	۱۰۰

جدول ۸: برآورد توان آماره D_n برای برخی فرض‌های مقابل، $1 - \gamma = 0.05$ و $B = 1000$ شبیه‌سازی مونت کارلو.

$n = 150$	$n = 100$	$n = 50$	فرض مقابل
۰/۹۸۲	۰/۹۱۶	۰/۶۸۳	$Gamma(0.1, 1)$
۰/۹۸۷	۰/۹۲۱	۰/۶۲۱	$Gamma(0.1, 2)$
۰/۷۹۹	۰/۶۱۳	۰/۳۳۲	$Gamma(3, 2)$
۱	۰/۹۹۶	۰/۹۶۵	$Gamma(5, 1)$
۰/۰۷۵	۰/۰۷۸	۰/۰۷۶	$Chi squared (2)$
۰/۹۹۵	۰/۹۸۶	۰/۹۴۱	$Chi squared (10)$
۱	۰/۹۹۹	۰/۹۹۸	$Weibull (3, 2)$
۰/۹۴۴	۰/۸۴۶	۰/۵۳۱	$Weibull (2, 1)$
۰/۸۷۷	۰/۶۶۱	۰/۳۳۴	$Lognormal (0.1, 0.1, 1)$
۰/۶۲۸	۰/۵۰۹	۰/۲۹۵	$Lognormal (0.1, 1)$
۱	۰/۹۹۷	۰/۹۹۲	$Lognormal (0.1, 5)$
۰/۹۹۳	۰/۹۴۷	۰/۷۰۶	$Uniform (0.1, 1)$
۰/۶۷۳	۰/۵۰۵	۰/۲۴۹	$Half - normal (0.1, 1)$
۰/۹۹۹	۰/۹۹۵	۰/۹۳	$Half - Cauchy (0.1, 1)$

۶- نتیجه گیری

در این مقاله آزمون نیکویی برازش برای رده نمایی وزنی براساس آماره‌های اندرسون و کلموگروف-اسمیرنف مورد بررسی قرار گرفت. برای محاسبه چندک‌های آماره آزمون اندرسون از روش بوت‌استرپ و جهت آزمون کلموگروف-اسمیرنف از یک روش دیگر استفاده شد. در ادامه توان این آزمون‌ها برای فرض‌های مقابل مناسب بررسی شد. نتایج شبیه‌سازی نشان داد که چندک‌های آماره آزمون کلموگروف-اسمیرنف با تقریب بسیار خوبی به پارامتر مقیاس وابسته نیست. همچنین این آزمون به مراتب از آزمون اندرسون تواناتر است.

مراجع

- [1] Gupta, R. D. and Kundu, D. (2009), A new class of weighted exponential distributions, *Statistics*, **43**, 621 - 643.
- [2] Azzalini, A. (1985), A class of distributions which includes the normal ones, *Scandinavian Journal of Statistics*, **12**, 171-178.
- [3] Gupta, R.D. and Kundu, D. (1999), Generalized exponential distributions, *Australian and New Zealand Journal of Statistics*, **41(2)**, 173-188.
- [4] Arnold, B.C. and Beaver, R.J. (2000), The skew-Cauchy distribution, *Statistics and probability letters*, **49**, 285-290.
- [5] Gupta, R.D. and Kundu, D. (2007), Skew-Logistic distribution, Tech. Rep., *Indian Institute of Technology Kanpur, Kanpur, India*.
- [6] Genton, M.G. (2004), *Skew-elliptical distributions and their applications: a journey beyond normality*, Chapman and Hall/CRC.
- [7] Stephens, M.A. (1986), Tests based on EDF statistics, *Goodness-of-fit Techniques*, **68**, 97-193.

Goodness-of-fit tests for the weighted exponential distribution

Mohammad Mehdi Maghami, Nasrollah Iranpanah

Department of Statistics, University of Isfahan, Isfahan, Iran

Abstract

In the new class of weighted exponential distributions was presented by Gupta and Kundu [1], the skewness parameter has been added to the exponential distribution. Therefore the weighted exponential distribution has the skewness and scale parameters. In this paper, we first study Anderson and Kolmogorov-Smirnov goodness of fit tests for this class with unknown parameters. Then, we apply bootstrap method for estimation of Anderson's quantile and another method for Kolmogorov-Smirnov. We use the maximum likelihood method for estimation of parameters. Finally, we compare Kolmogorov-Smirnov and Anderson tests in a Monte Carlo simulation study. The results show that the Kolmogorov-Smirnov test has greater power than Anderson test.

Keywords: Goodness of fit test, Parametric bootstrap, Empirical distribution function, Monte Carlo simulation.

Mathematics Subject Classification (2000): 62G10, 62F40